



TP3 - Calcul d'option par la méthode de Monte Carlo

Mots clés :

- Scilab
- Théorème central limite
- Marge d'erreur
- Intervalle de confiance
- Réduction de variance
- Variable de contrôle
- Variable antithétique
- Échantillonnage préférentiel
- Modèle de Black-Scholes
- Option vanille (européenne)
- Call & Put

Élève : Boudjeltia Reda
M2 MIMSE Spé 3 AD
Date : 9 Novembre 2015

Table des matières

1	Description du protocole	3
2	Valeur exacte et Monte Carlo Simple	4
3	Variable de Contrôle	6
4	Variables antithétiques	9
5	Échantillonnage préférentiel	11
6	Bilan	13
7	Code complet	15

1 Description du protocole

Dans le cadre de ce TP nous avons à étudier la méthode de **Monte Carlo** dans le cas d'un calcul de **Put** d'une option européenne. Pour ce faire, nous devons comparer la méthode dite "classique" avec des méthodes de **Réduction de variance** qui sont :

- Variable de contrôle
- Variables antithétique
- Échantillonnage préférentiel

Ainsi, le protocole est quasi identique pour les quatre méthodes :

1. On définit une fonction $g(X)$ (X étant une v.a dont on précisera la loi)
2. On calcul numériquement $\mathbb{E}(g(X))$ par la méthode de Monte Carlo : $\sum_{n=1}^{\infty} \frac{g(X)}{n} = \mathbb{E}(g(X))$
3. On évalue la variance de façon empirique avec l'estimateur sans biais $S_n = \frac{1}{n-1} \sum_{i=1}^n (g(X_i) - I_n)^2$
4. Puis évalue l'intervalle de confiance $[I_n - 1.96\sqrt{\frac{S_n}{n}}; I_n + 1.96\sqrt{\frac{S_n}{n}}]$

D'autre part, dans un premier temps nous ferons une étude en présentant les courbes pour finir par une étude comparatif des différentes méthodes. Ainsi, les méthodes seront comparé sur les critères suivant.

- Variance (réduction)
- Précision des bornes de l'intervalle de confiance
- Première valeur pour laquelle ont reste définitivement dans l'intervalle de confiance

2 Valeur exacte et Monte Carlo Simple

Ici, on a X qui suit une loi normale centrée réduite

$$g(X) = (Ke^{-rT} - xe^{\sigma X\sqrt{T} - \frac{\sigma^2 T}{2}})_+ \quad (1)$$

Voici, les évolutions des évaluations en fonction de n .

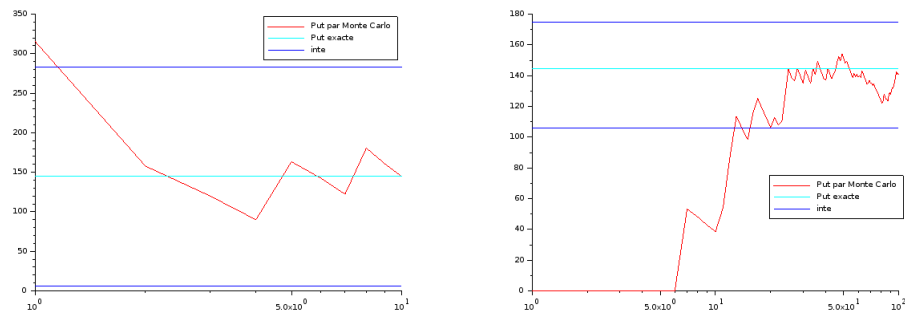


FIGURE 1 – $n = 10$ et $n = 100$

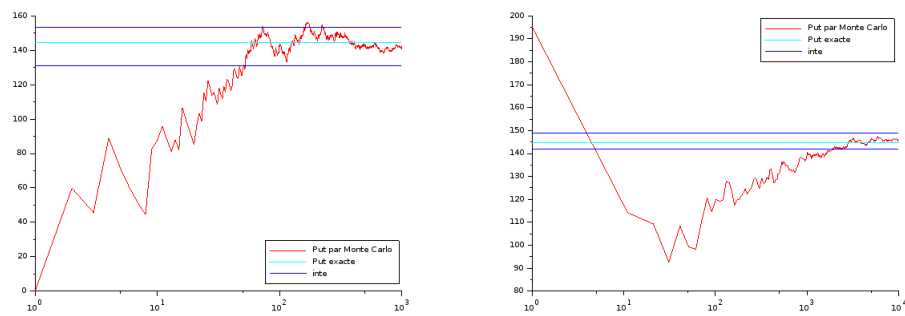


FIGURE 2 – $n = 1\ 000$ et $n = 10\ 000$

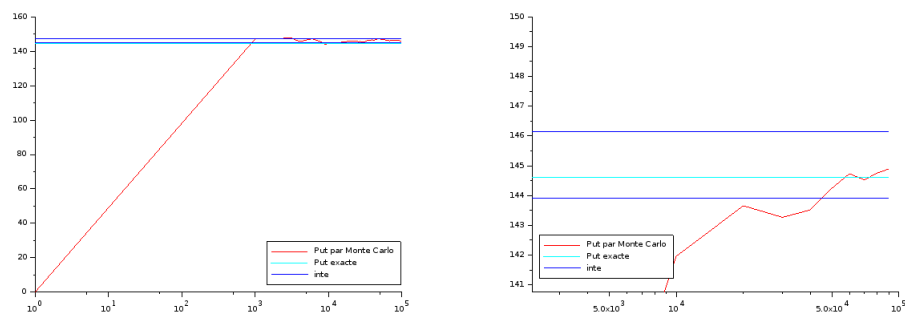
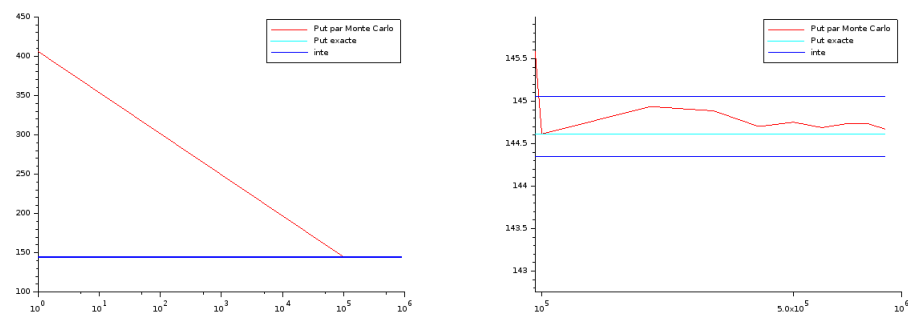


FIGURE 3 – $n = 100\ 000$ avec zoom

FIGURE 4 – $n = 1\,000\,000$ avec zoom

3 Variable de Contrôle

La méthode consiste à poser $\mathbb{E}[g(X)] = \mathbb{E}[g(X) - h(X)] + \mathbb{E}[h(X)]$ sous réserve que $\text{var}(g(X) - h(X)) < \text{var}(g(X))$ et que l'on sache calculer explicitement $\mathbb{E}[h(X)]$.

On a

$$C - P = x(1 - e^{-rT}) \quad (2)$$

$$\text{en posant } C = \mathbb{E}[h(X)] \quad (3)$$

$$\text{avec } h(X) = xe^{\sigma X\sqrt{T} - \frac{\sigma^2 T}{2}} - Ke^{-rT} \quad (4)$$

Ainsi

$$\mathbb{E}[g(X)] = \mathbb{E}[g(X) - h(X)] + \mathbb{E}[h(X)] \quad (5)$$

$$= \mathbb{E}[g(X)] - \mathbb{E}[h(X)] + \mathbb{E}[h(X)] \quad (6)$$

$$= C - P + \mathbb{E}[h(X)] \quad (7)$$

avec X qui suit une loi normale centrée et réduite.

Néanmoins, pour le modèle de **Black & Scholes**, la variance du **Put** est souvent (mais pas systématiquement) inférieur à celle du **Call**.

Tout d'abord, nous avons fait le travail précédent mais pour un **call**. Par conséquent, on a posé

$$h(X) = (xe^{\sigma X\sqrt{T} - \frac{\sigma^2 T}{2}} - Ke^{-rT})_+ \quad (8)$$

On obtient les courbes suivant qui vérifie que nous n'avons pas fait d'erreurs.

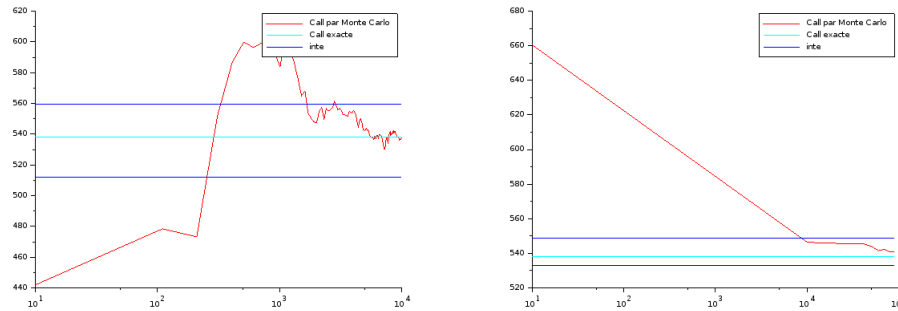
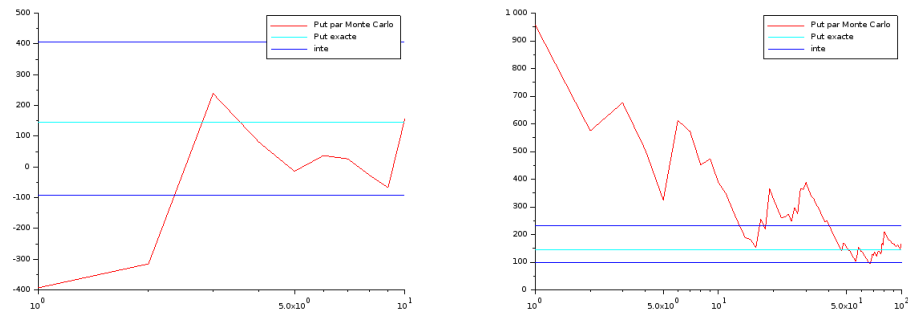
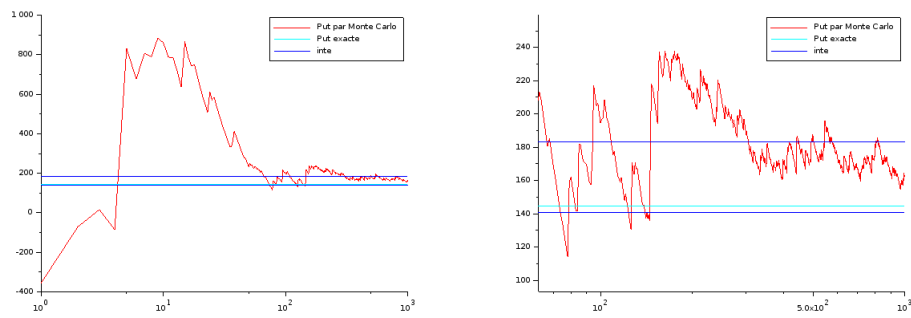
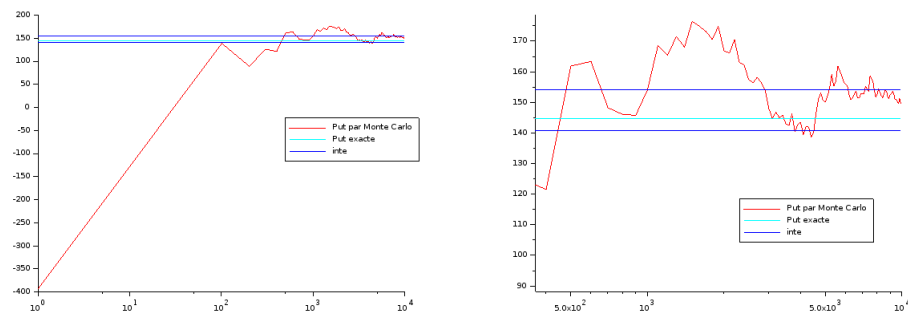
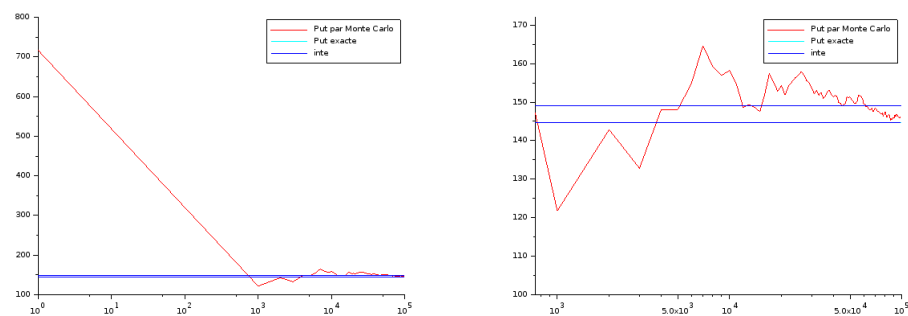
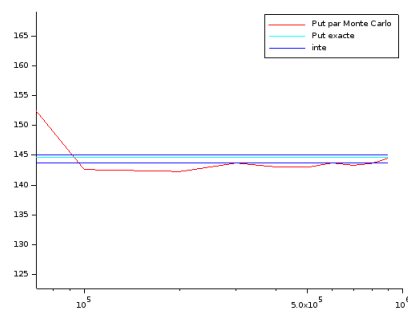


FIGURE 5 – $n = 10\,000$ et $100\,000$

Ensuite, nous avons exécuté nos simulations et obtenu les courbes suivant

FIGURE 6 – $n = 10$ et 100 FIGURE 7 – $n = 1000$ avec zoomFIGURE 8 – $n = 10\,000$ avec zoomFIGURE 9 – $n = 100\,000$ avec zoom

FIGURE 10 – $n = 1\,000\,000$ avec zoom

4 Variables antithétiques

La méthode consiste à poser $\mathbb{E}[g(X)] = \mathbb{E}[\frac{g(X) - g(h(X))}{2}]$. Ici, l'inégalité de Hölder garanti la diminution de variance.

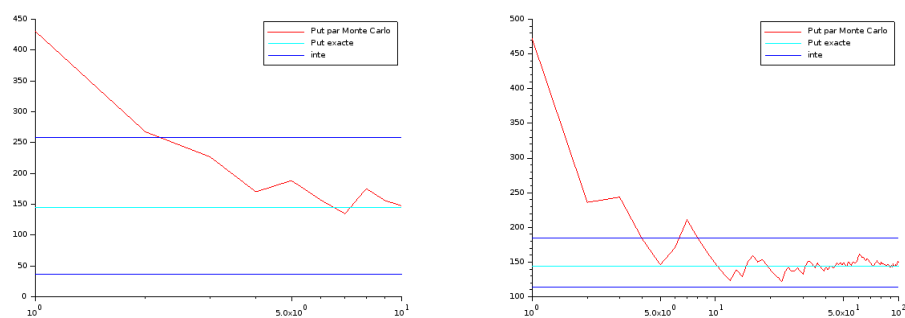


FIGURE 11 – $n = 10$ et 100

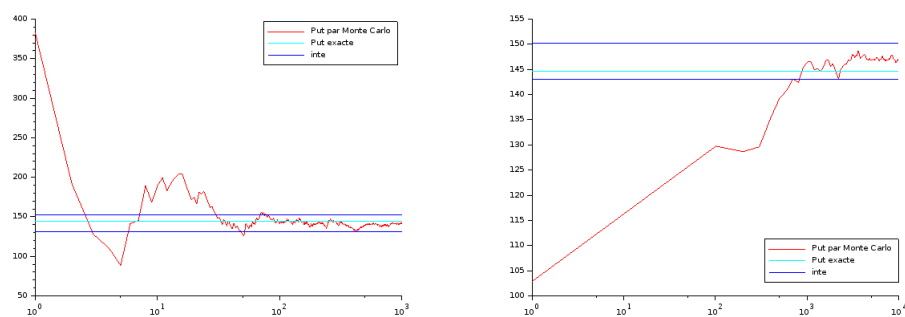


FIGURE 12 – $n = 1\,000$ et $10\,000$

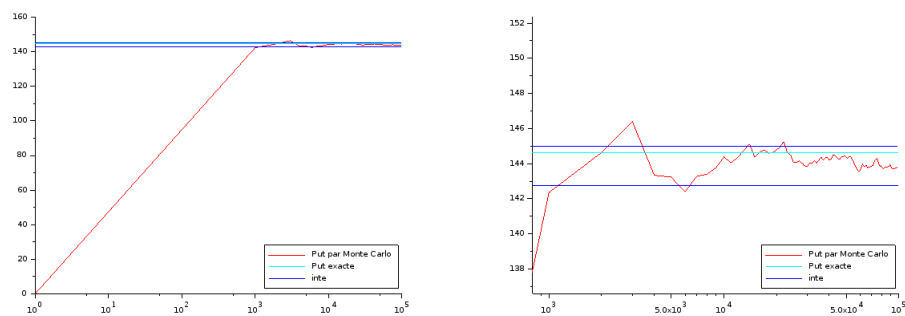
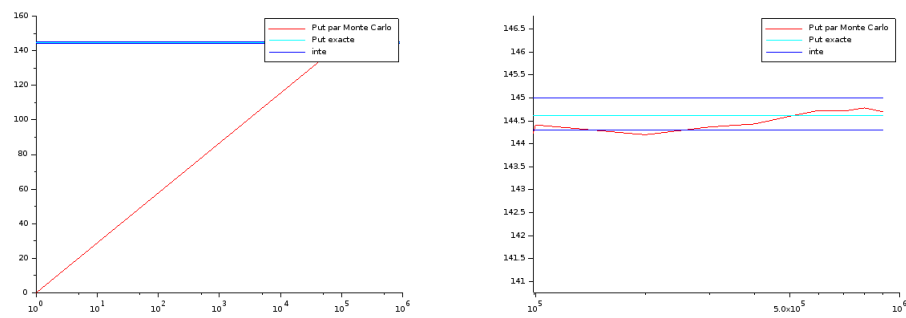


FIGURE 13 – $n = 100\,000$ avec zoom

FIGURE 14 – $n = 1\,000\,000$ avec zoom

5 Échantillonnage préférentiel

Le but de la méthode est d'écrire I sous la forme suivante

$$I = \int g(x)f(x)dx = \int \frac{g(x)f(x)}{h(x)}h(x)dx = \mathbb{E}\left[\frac{\partial(\mathbb{Y})\mathbb{U}(\mathbb{Y})}{\mathbb{Z}(\mathbb{Y})}\right] \quad (9)$$

Sous réserve que l'on sache simuler la v.a Y de densité h . La méthode s'avère intéressante si $\text{var}(\frac{gf}{h}(Y)) < \text{var}(g(X))$

Dans notre exemple on a $x = K$ et $r = \frac{\sigma^2}{2}$ alors $d_1 = \sigma\sqrt{T}$ et $d - 2 = 0$. On obtient

$$\frac{P}{x} = \mathbb{E}[e^{-rT}(1 - e^{-\sigma\sqrt{T}X})\mathbb{1}_{X \geq 0}] \quad (10)$$

$$= \frac{e^{-rt}}{\sqrt{2\pi}} \int_0^\infty (1 - e^{-\sigma\sqrt{T}y})e^{-\frac{y^2}{2}} dy \quad (11)$$

Or, pour x petit $e^x - 1 = x$. On pose $u = y^2/2$ et on obtient

$$P = x \frac{e^{-rt}}{\sqrt{2\pi}} \int_0^\infty \frac{1 - e^{-\sigma\sqrt{T}\sqrt{2u}}}{\sqrt{2u}} e^{-u} du \quad (12)$$

$$= x \frac{e^{-rt}}{\sqrt{2\pi}} \mathbb{E}\left[\frac{1 - e^{-\sigma\sqrt{2TU}}}{\sqrt{2U}}\right] \quad (13)$$

avec T qui suit une loi exponentielle de paramètre 1.

De plus, on peut remarquer sur les graphiques suivants que la méthode donne des résultats précis très vite.

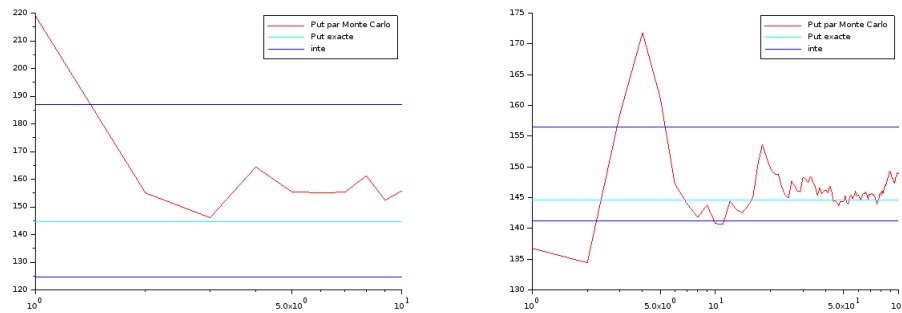
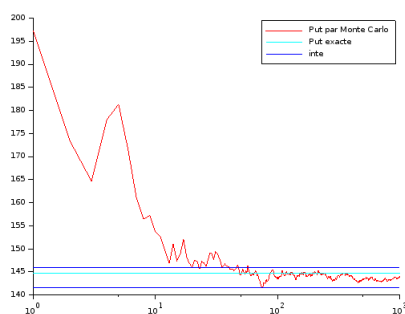
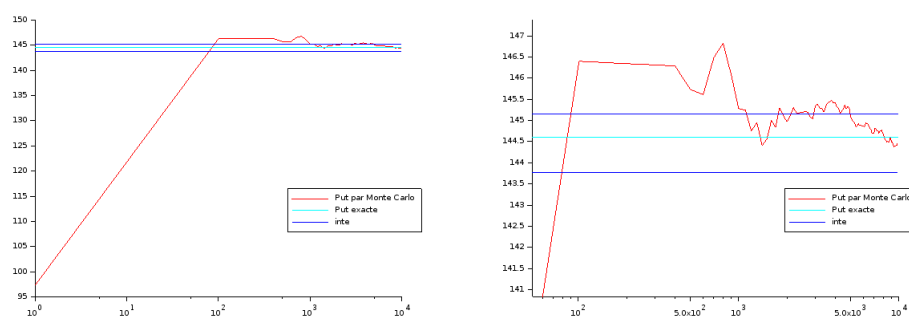
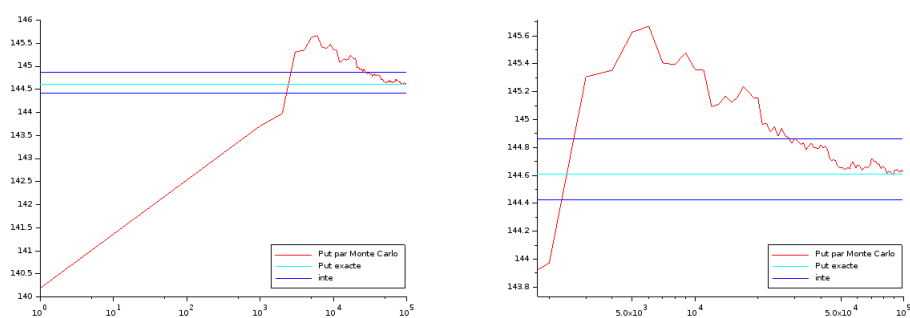
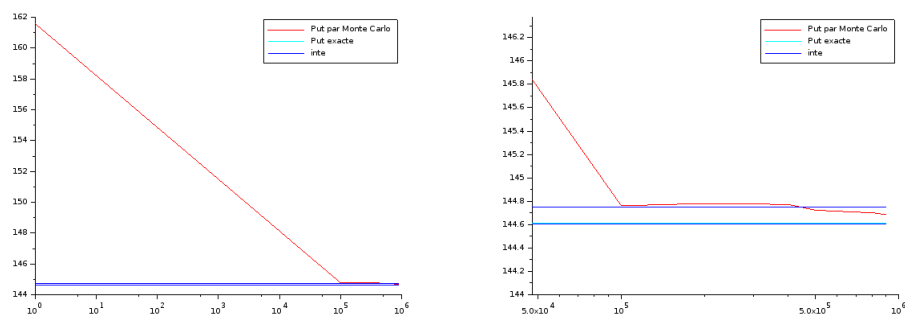


FIGURE 15 – $n = 10$ et $n = 100$

FIGURE 16 – $n = 1\,000$ FIGURE 17 – $n = 10\,000$ avec zoomFIGURE 18 – $n = 100\,000$ avec zoomFIGURE 19 – $n = 1\,000\,000$ avec zoom

6 Bilan

Pour chaque simulation nous avons relevé les évaluation suivante

- Variance (réduction)
- Précision des bornes de l'intervalle de confiance
- première valeur pour laquelle ont reste dans l'intervalle de confiance

Notons, ensuite le nom des méthodes

- Méthode 1 : Monte Carlo simple
- Méthode 2 : Variable de contrôle
- Méthode 3 : Variable antithétique
- Méthode 4 : Échantillonnage préférentiel

Méthode 1					Méthode 2				
N	Variance	Borne Sup	Borne Inf	Entrée	N	Variance	Borne Sup	Borne Inf	Entrée
10	30238,741	320	66	2	10	161834,69	406,25	-92	3
100	26802,24	165,75	98,89	12	100	117046,22	231,62	97,51	41
1000	32623,83	153,43	131,095	52	1000	118341,29	183,41	140,75	579
10000	32516,76	148,95	141,88	1928	10000	11825,32	154,21	140,73	7887
100000	32710,03	146,15	143,91	45482	100000	117356,54	148,96	144,71	63940
1000000	32431,89	145,05	144,38	101026	1000000	116029,7	145,01	143,67	794690
Méthode 3					Méthode 4				
N	Variance	Borne Sup	Borne Inf	Entrée	N	Variance	Borne Sup	Borne Inf	Entrée
10	31799,25	257,97	36,92	2	10	2543,1	187,07	124,55	2
100	32462,65	184,57	113,94	8	100	1528,39	156,52	141,2	6
1000	31814,306	152,93	130,82	152	1000	1235,63	145,94	141,58	58
10000	32766,74	150,21	143,11	780	10000	1235,19	145,15	143,77	4911
100000	32329,29	144,9	142,76	6274	100000	1256,08	144,86	144,42	29065
1000000	32414,46	145,01	144,29	261155	1000000	1255,94	144,74	144,61	429909

FIGURE 20 – Relevé de nos tests

Par conséquent, on constate que la méthode de variable de contrôle donne une grande variance (dont la variance me parait trop grande, dû peut être une erreur de calcul) et que celle de l'échantillonnage préférentiel une très réduite comparé aux autres.

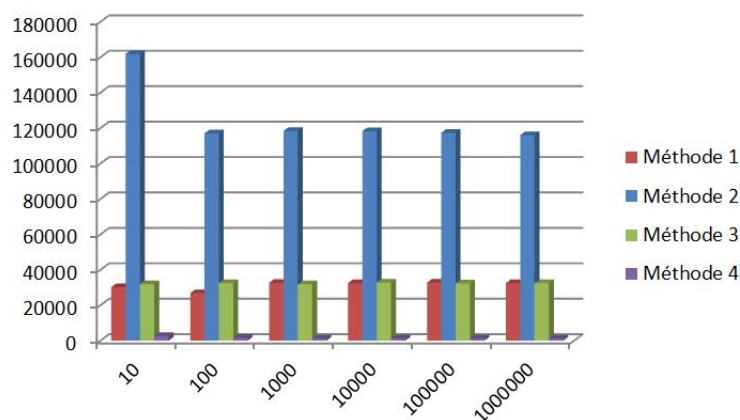


FIGURE 21 – Variances des méthodes

De plus, cela se confirme quand on observe les comparaisons de convergence des bornes de l'intervalle de confiance vers la vraie valeur du Put (rappelons qui est à 144.61).

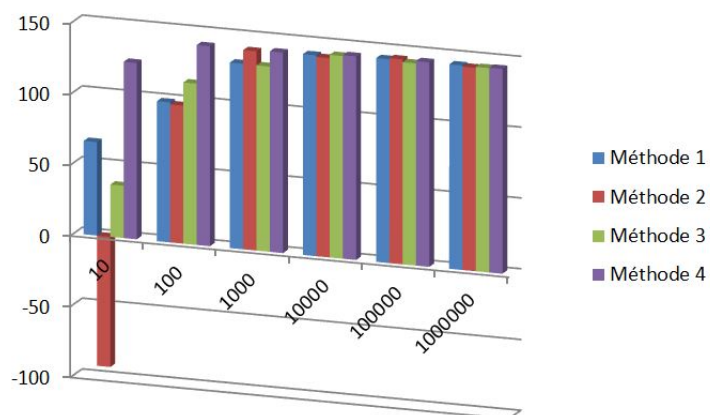


FIGURE 22 – valeur de la borne inférieure l'intervalle de confiance

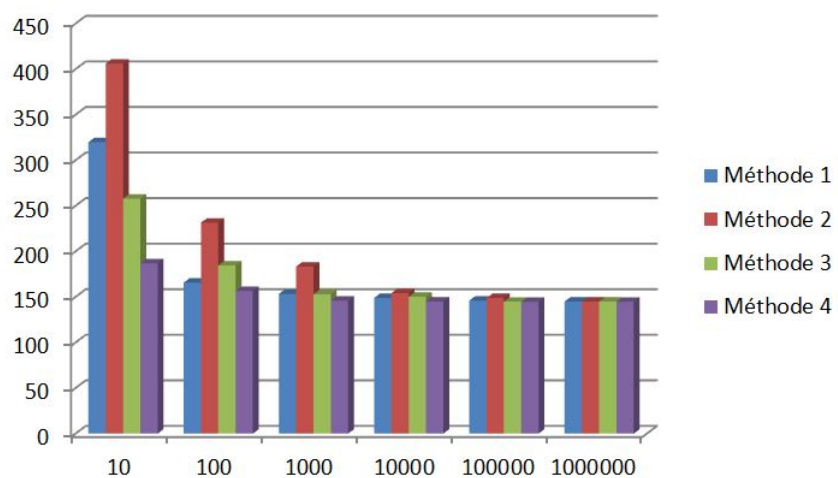


FIGURE 23 – valeur de la borne supérieur de l'intervalle de confiance

7 Code complet

```
//Rappel
function [p] = d1(x,t,K,T,r,sigma)
    a = log(x/K)+(r+sigma**2/2)*(T-t)
    p = a / (sigma*sqrt(T-t))
endfunction

test = d1(10,100,100,30,0.05,0.1)

function [p] = d2(x,t,K,T,r,sigma)
    p = d1(x,t,K,T,r,sigma) - sigma*sqrt(T-t)
endfunction

test = d2(10,100,100,30,0.05,0.1)

function [p] = Call(x, t, T, K, r, sigma)
    first = x*cdfnor("PQ",d1(x,t,K,T,r,sigma),0,1);
    second = K*exp(-r*(T-t))*cdfnor("PQ",d2(x,t,K,T,r,sigma),0,1);
    p = first - second;
endfunction

function [p] = Put(x, t, T, K, r, sigma)
    first = x*cdfnor("PQ",-d1(x,t,K,T,r,sigma),0,1);
    second = K*exp(-r*(T-t))*cdfnor("PQ",-d2(x,t,K,T,r,sigma),0,1);
    p = -first + second;
endfunction

//-----
t = 0;
x = 1000;
T = 100;
K = 1000;
r = 0.005;
sigma = 0.1;

n = 1000;
X = grand(n,1,"nor",0,1);

function [p] = g(X, x, t, T, K, r, sigma)
    first = K*exp(-r*(T-t));
    second = x*exp(sigma*X*sqrt(T-t)) *exp(-((T-t)*sigma**2)/2)
    p = max(0, first - second);
endfunction
```

FIGURE 24 – Simple simulation du Put 1/3

```

test = g(X(1), x, t, T, K, r, sigma);

//evaluation with Monte Carlo method
function [p] = eval_Put(X, x, t, T, K, r, sigma, n)
    tmp = 0;
    for i = 1:n
        tmp = tmp + g(X(i), x, t, T, K, r, sigma)/n;
    end
    p = tmp;
endfunction

function [p] = error_Rate(X, x, t, T, K, r, sigma, n)
    tmp = 0;
    I = eval_Put(X, x, t, T, K, r, sigma, n);
    for i = 1:n
        tmp = tmp + (g(X(i), x, t, T, K, r) - I)**2/(n-1);
    end
    p = tmp;
endfunction

function [p] = boundary(X, x, t, T, K, r, sigma, n)
    I = eval_Put(X, x, t, T, K, r, sigma, n);
    A = error_Rate(X, x, t, T, K, r, sigma, n);

    p = [I - 1.96*sqrt(A/n), I + 1.96*sqrt(A/n)];
endfunction

function [p] = test1(X, x, t, T, K, r, sigma, y)
    for i = 1:length(y)
        a(i) = eval_Put(X, x, t, T, K, r, sigma, y(i));
    end
    p = [a];
endfunction

function [p] = test2(X, x, t, T, K, r, sigma, y)
    for i = 1:length(y)
        b(i) = Put(x, t, T, K, r, sigma);
    end
    p = [b];
endfunction

function [p] = test3(X, x, t, T, K, r, sigma, y,n)
    b = boundary(X, x, t, T, K, r, sigma, n)
    for i = 1:length(y)
        c(i) = b(1);
    end
    p = [c];
endfunction

```

FIGURE 25 – Simple simulation du Put 2/3


```
function [p] = test4(X, x, t, T, K, r, sigma, y, n)
    b = boundary(X, x, t, T, K, r, sigma, n)
    for i = 1:length(y)
        c(i) = b(2);
    end
    p = [c];
endfunction

//Simulation
n = 10
y = [1:1:n];
X = grand(n,1,"nor",0,1);

//clf();
//plot2d(y, test1(X, x, t, T, K, r, sigma, y), logflag = "ln", style=5);
//plot2d(y, test2(X, x, t, T, K, r, sigma, y), logflag = "ln", style=4);
//plot2d(y, test3(X, x, t, T, K, r, sigma, y, n), logflag = "ln", style=2);
//plot2d(y, test4(X, x, t, T, K, r, sigma, y, n), logflag = "ln", style=2);
//legend(["Put par Monte Carlo";"Put exacte";"inte"])
```

FIGURE 26 – Simple simulation du Put 3/3

```

//Rappel
function [p] = d1(x,t,K,T,r,sigma)
    a = log(x/K)+(r+sigma**2/2)*(T-t)
    p = a / (sigma*sqrt(T-t))
endfunction

test = d1(10,100,100,30,0.05,0.1)

function [p] = d2(x,t,K,T,r,sigma)
    p = d1(x,t,K,T,r,sigma) - sigma*sqrt(T-t)
endfunction

test = d2(10,100,100,30,0.05,0.1)

function [p] = Call(x, t, T, K, r, sigma)
    first = x*cdfnor("PQ",d1(x,t,K,T,r,sigma),0,1);
    second = K*exp(-r*(T-t))*cdfnor("PQ",d2(x,t,K,T,r,sigma),0,1);
    p = first - second;
endfunction

function [p] = Put(x, t, T, K, r, sigma)
    first = x*cdfnor("PQ",-d1(x,t,K,T,r,sigma),0,1);
    second = K*exp(-r*(T-t))*cdfnor("PQ",-d2(x,t,K,T,r,sigma),0,1);
    p = -first + second;
endfunction

//-----

x = 1000;
T = 100;
K = 1000;
r = 0.005;
sigma = 0.1;
t=0;

n = 1000;
X = grand(n,1,"nor",0,1);

//For a Call
function [p] = gc(X, x, t, T, K, r, sigma)
    first = K*exp(-r*(T-t));
    second = x*exp(sigma*X*sqrt(T-t)) *exp(-((T-t)*sigma**2)/2)
    p = max(0, -first + second);
endfunction

```

FIGURE 27 – Simple simulation du Call 1/3

```

test = g(X(1), x, t, T, K, r, sigma);

//evaluation of Call with Monte Carlo method
function [p] = eval_Call(X, x, t, T, K, r, sigma, n)
    tmp = 0;
    for i = 1:n
        tmp = tmp + gc(X(i), x, t, T, K, r, sigma)/n;
    end
    p = tmp
endfunction

function [p] = error_Rate(X, x, t, T, K, r, sigma, n)
    tmp = 0;
    I = eval_Call(X, x, t, T, K, r, sigma, n);
    for i = 1:n
        tmp = tmp + (gc(X(i), x, t, T, K, r) - I)**2/(n-1);
    end
    p = tmp;
endfunction

function [p] = boundary(X, x, t, T, K, r, sigma, n)
    I = eval_Call(X, x, t, T, K, r, sigma, n);
    A = error_Rate(X, x, t, T, K, r, sigma, n)

    p = [I - 1.96*sqrt(A/n), I + 1.96*sqrt(A/n)];
endfunction

function [p] = test1(X, x, t, T, K, r, sigma, y)
    for i = 1:length(y)
        a(i) = eval_Call(X, x, t, T, K, r, sigma, y(i));
    end
    p = [a];
endfunction

function [p] = test2(X, x, t, T, K, r, sigma, y)
    for i = 1:length(y)
        b(i) = Call(x, t, T, K, r, sigma);
    end
    p = [b];
endfunction

```

FIGURE 28 – Simple simulation du Call 2/3

```
function [p] = test3(X, x, t, T, K, r, sigma, y,n)
    b = boundary(X, x, t, T, K, r, sigma, n)
    for i = 1:length(y)
        c(i) = b(1);
    end
    p = [c];
endfunction

function [p] = test4(X, x, t, T, K, r, sigma, y, n)
    b = boundary(X, x, t, T, K, r, sigma, n)
    for i = 1:length(y)
        c(i) = b(2);
    end
    p = [c];
endfunction

n = 10000
y = [10:100:n];
X = grand(n,1,"nor",0,1);
//clf();
//plot2d(y, test1(X, x, t, T, K, r, sigma, y), logflag = "ln", style=5);
//plot2d(y, test2(X, x, t, T, K, r, sigma, y), logflag = "ln", style=4);
//plot2d(y, test3(X, x, t, T, K, r, sigma, y, n), logflag = "ln", style=2);
//plot2d(y, test4(X, x, t, T, K, r, sigma, y, n), logflag = "ln", style=2);
//legend(["Call par Monte Carlo";"Call exacte";"inte"])
```

FIGURE 29 – Simple simulation du Call 3/3

```

//Exercice 3

t = 0;
x = 1000;
T = 100;
K = 1000;
r = 0.005;
sigma = 0.1;
n = 10000
y = [10:100:n];
X = grand(n,1,"nor",0,1);

//We use the previous Call compute with Monte Carlo
function [p] = eval_PutVC(X, x, t, T, K, r, sigma, n)
    I = x*(1-exp(-r*T));
    p = I - eval_Call(X, x, t, T, K, r, sigma, n)
endfunction

function [p] = error_Rate(X, x, t, T, K, r, sigma, n)
    tmp = 0;
    I = eval_PutVC(X, x, t, T, K, r, sigma, n);
    for i = 1:n
        tmp = tmp + (g(X(i), x, t, T, K, r) - I)**2/(n-1);
    end
    p = tmp;
endfunction

function [p] = boundary(X, x, t, T, K, r, sigma, n)
    I = eval_PutVC(X, x, t, T, K, r, sigma, n);
    A = error_Rate(X, x, t, T, K, r, sigma, n)

    p = [I - 1.96*sqrt(A/n), I + 1.96*sqrt(A/n)];
endfunction

```

FIGURE 30 – Simple simulation du Put par Variable de contrôle 1/3

```

function [p] = test1(X, x, t, T, K, r, sigma, y)
    for i = 1:length(y)
        a(i) = -eval_PutVC(X, x, t, T, K, r, sigma, y(i));
    end
    p = [a];
endfunction

function [p] = test2(X, x, t, T, K, r, sigma, y)
    for i = 1:length(y)
        b(i) = Put(x, t, T, K, r, sigma);
    end
    p = [b];
endfunction

function [p] = test3(X, x, t, T, K, r, sigma, y, n)
    b = boundary(X, x, t, T, K, r, sigma, n)
    for i = 1:length(y)
        c(i) = -b(1);
    end
    p = [c];
endfunction

function [p] = test4(X, x, t, T, K, r, sigma, y, n)
    b = boundary(X, x, t, T, K, r, sigma, n)
    for i = 1:length(y)
        c(i) = -b(2);
    end
    p = [c];
endfunction

n = 1000
y = [1:10:n];
X = grand(n,1,"nor",0,1);
clf();
plot2d(y, test1(X, x, t, T, K, r, sigma, y), logflag = "ln", style=5);
plot2d(y, test2(X, x, t, T, K, r, sigma, y), logflag = "ln", style=4);
plot2d(y, test3(X, x, t, T, K, r, sigma, y, n), logflag = "ln", style=2);
plot2d(y, test4(X, x, t, T, K, r, sigma, y, n), logflag = "ln", style=2);
legend(["Put par Monte Carlo"; "Put exacte"; "inte"])

```

FIGURE 31 – Simple simulation du Put par Variable de contrôle 2/3

```

//Rappel
function [p] = d1(x,t,K,T,r,sigma)
    a = log(x/K)+(r+sigma**2/2)*(T-t)
    p = a / (sigma*sqrt(T-t))
endfunction

test = d1(10,100,100,30,0.05,0.1)

function [p] = d2(x,t,K,T,r,sigma)
    p = d1(x,t,K,T,r,sigma) - sigma*sqrt(T-t)
endfunction

test = d2(10,100,100,30,0.05,0.1)

function [p] = Call(x, t, T, K, r, sigma)
    first = x*cdfnor("PQ",d1(x,t,K,T,r,sigma),0,1);
    second = K*exp(-r*(T-t))*cdfnor("PQ",d2(x,t,K,T,r,sigma),0,1);
    p = first - second;
endfunction

function [p] = Put(x, t, T, K, r, sigma)
    first = x*cdfnor("PQ",-d1(x,t,K,T,r,sigma),0,1);
    second = K*exp(-r*(T-t))*cdfnor("PQ",-d2(x,t,K,T,r,sigma),0,1);
    p = -first + second;
endfunction

//-----

x = 1000;
T = 100;
K = 1000;
r = 0.005;
sigma = 0.1;

n = 1000;
X = grand(n,1,"nor",0,1);

function [p] = g2(X, x, t, T, K, r, sigma)
    first = K*exp(-r*(T-t));
    second = x*exp(sigma*X*sqrt(T-t)) *exp(-((T-t)*sigma**2)/2)
    p = max(0, first - second);
endfunction

function [p] = g(X, x, t, T, K, r, sigma)
    p = (g2(X, x, t, T, K, r, sigma) + g2(X, x, t, T, K, r, sigma))/2
endfunction

test = g(X(1), x, t, T, K, r, sigma);

```

FIGURE 32 – Simple simulation du Put par Variable antithétique 1/3

```

//evaluation with Monte Carlo method
function [p] = eval_Put(X, x, t, T, K, r, sigma, n)
    tmp = 0;
    for i = 1:n
        tmp = tmp + g(X(i), x, t, T, K, r, sigma)/n;
    end
    p = tmp
endfunction

function [p]= error_Rate(X, x, t, T, K, r, sigma, n)
    tmp = 0;
    I = eval_Put(X, x, t, T, K, r, sigma, n);
    for i = 1:n
        tmp = tmp + (g(X(i), x, t, T, K, r) - I)**2/(n-1);
    end
    p = tmp;
endfunction

function [p] = boundary(X, x, t, T, K, r, sigma, n)
    I = eval_Put(X, x, t, T, K, r, sigma, n);
    A = error_Rate(X, x, t, T, K, r, sigma, n)

    p = [I - 1.96*sqrt(A/n), I + 1.96*sqrt(A/n)];
endfunction

function [p] = test1(X, x, t, T, K, r, sigma, y)
    for i = 1:length(y)
        a(i) = eval_Put(X, x, t, T, K, r, sigma, y(i));
    end
    p = [a];
endfunction

function [p] = test2(X, x, t, T, K, r, sigma, y)
    for i = 1:length(y)
        b(i) = Put(x, t, T, K, r, sigma);
    end
    p = [b];
endfunction

function [p] = test3(X, x, t, T, K, r, sigma, y,n)
    b = boundary(X, x, t, T, K, r, sigma, n)
    for i = 1:length(y)
        c(i) = b(1);
    end
    p = [c];
endfunction

```

FIGURE 33 – Simple simulation du Put par Variable antithétique 2/3


```
function [p] = test4(X, x, t, T, K, r, sigma, y, n)
    b = boundary(X, x, t, T, K, r, sigma, n)
    for i = 1:length(y)
        c(i) = b(2);
    end
    p = [c];
endfunction

n = 10000
y = [1:100:n];
X = grand(n,1,"nor",0,1);
clf();
plot2d(y, test1(X, x, t, T, K, r, sigma, y), logflag = "ln", style=5);
plot2d(y, test2(X, x, t, T, K, r, sigma, y), logflag = "ln", style=4);
plot2d(y, test3(X, x, t, T, K, r, sigma, y, n), logflag = "ln", style=2);
plot2d(y, test4(X, x, t, T, K, r, sigma, y, n), logflag = "ln", style=2);
legend(["Put par Monte Carlo"; "Put exacte"; "inte"])
```

FIGURE 34 – Simple simulation du Put par Variable antithétique 3/3

```

//Rappel
function [p] = d1(x,t,K,T,r,sigma)
    a = log(x/K)+(r+sigma**2/2)*(T-t)
    p = a / (sigma*sqrt(T-t))
endfunction

test = d1(10,100,100,30,0.05,0.1)

function [p] = d2(x,t,K,T,r,sigma)
    p = d1(x,t,K,T,r,sigma) - sigma*sqrt(T-t)
endfunction

test = d2(10,100,100,30,0.05,0.1)

function [p] = Call(x, t, T, K, r, sigma)
    first = x*cdfnor("PQ",d1(x,t,K,T,r,sigma),0,1);
    second = K*exp(-r*(T-t))*cdfnor("PQ",d2(x,t,K,T,r,sigma),0,1);
    p = first - second;
endfunction

function [p] = Put(x, t, T, K, r, sigma)
    first = x*cdfnor("PQ",-d1(x,t,K,T,r,sigma),0,1);
    second = K*exp(-r*(T-t))*cdfnor("PQ",-d2(x,t,K,T,r,sigma),0,1);
    p = -first + second;
endfunction

//-----

x = 1000;
T = 100;
K = 1000;
r = 0.005;
sigma = 0.1;

n = 1000;
X = grand(n,1,"exp",1);

function [p] = g3(X, x, t, T, K, r, sigma)
    first = K*exp(-r*(T-t));
    second = x*exp(sigma*X*sqrt(T-t)) *exp(-((T-t)*sigma**2)/2)
    p = max(0, first - second);
endfunction

```

FIGURE 35 – Simple simulation du Put par échantillonnage préférentiel 1/3

```

//X is expenontielle randomized variable
function [p] = g(X, x, t, T, K, r, sigma)
    f = x*exp(-r*T)/sqrt(2*%pi);
    h = (1-exp(-sigma*sqrt(2*T*X)))/sqrt(2*X);
    p = f*h;
endfunction

test = g(X(1), x, t, T, K, r, sigma);

//evaluation with Monte Carlo method
function [p] = eval_Put(X, x, t, T, K, r, sigma, n)
    tmp = 0;
    for i = 1:n
        tmp = tmp + g(X(i), x, t, T, K, r, sigma)/n;
    end
    p = tmp;
endfunction

function [p] = error_Rate(X, x, t, T, K, r, sigma, n)
    tmp = 0;
    I = eval_Put(X, x, t, T, K, r, sigma, n);
    for i = 1:n
        tmp = tmp + (g(X(i), x, t, T, K, r) - I)**2/(n-1);
    end
    p = tmp;
endfunction

function [p] = boundary(X, x, t, T, K, r, sigma, n)
    I = eval_Put(X, x, t, T, K, r, sigma, n);
    A = error_Rate(X, x, t, T, K, r, sigma, n)

    p = [I - 1.96*sqrt(A/n), I + 1.96*sqrt(A/n)];
endfunction

function [p] = test1(X, x, t, T, K, r, sigma, y)
    for i = 1:length(y)
        a(i) = eval_Put(X, x, t, T, K, r, sigma, y(i));
    end
    p = [a];
endfunction

function [p] = test2(X, x, t, T, K, r, sigma, y)
    for i = 1:length(y)
        b(i) = Put(x, t, T, K, r, sigma);
    end
    p = [b];
endfunction

function [p] = test3(X, x, t, T, K, r, sigma, y,n)
    b = boundary(X, x, t, T, K, r, sigma, n)
    for i = 1:length(y)
        c(i) = b(i);
    end
    p = [c];
endfunction

```

```
function [p] = test4(X, x, t, T, K, r, sigma, y, n)
    b = boundary(X, x, t, T, K, r, sigma, n)
    for i = 1:length(y)
        c(i) = b(2);
    end
    p = [c];
endfunction

n = 1000000
y = [1:100000:n];
X = grand(n,1,"exp",1);
clf();
plot2d(y, test1(X, x, t, T, K, r, sigma, y), logflag = "ln", style=5);
plot2d(y, test2(X, x, t, T, K, r, sigma, y), logflag = "ln", style=4);
plot2d(y, test3(X, x, t, T, K, r, sigma, y, n), logflag = "ln", style=2);
plot2d(y, test4(X, x, t, T, K, r, sigma, y, n), logflag = "ln", style=2);
legend(["Put par Monte Carlo"; "Put exacte"; "inte"])
```

FIGURE 37 – Simple simulation du Put par échantillonnage préférentiel 3/3